

## بهینه‌سازی روش تصویربرداری فلئورسنت مادون قرمز جهت مشاهده عروق قلبی در حیوانات

### خلاصه

**مقدمه:** ارزیابی صحت عملکرد عروق کرونری در حین عمل، برای جلوگیری از شکست زود هنگام عمل‌های بای‌پس قلبی ضروری است. در سال‌های اخیر، روش تصویربرداری فلئورسنت جهت بررسی پیوند عروق در حین جراحی مورد استفاده قرار گرفته است. از آنجایی که تاکنون روش و چینش ایدئالی برای بررسی عروق قلبی به صورت پیش‌بالینی ارائه نشده است، هدف از انجام این طرح بهبود روش تصویربرداری فلئورسنت مادون قرمز عروق قلبی و کمی‌سازی آن می‌باشد.

**روش بررسی:** سامانه تصویربرداری فلئورسنت مادون قرمز در دو بخش آرایه تحریکی و آشکارسازی طراحی شد. در این طرح از قلب ۱۰ موش صحرایی به صورت برون‌تنی و با تزریق محلول ایندوسیانین سبز به عروق قلبی آن‌ها تصویربرداری شد. با تصاویر حاصل از این سیستم تصویربرداری، به بررسی رابطه بین آنژیوگرافی عروق قلبی با اندازه عروق و میزان جریان خون در داخل آن‌ها پرداخته شد. در این طرح، پس از تعیین نمودار شدت بر حسب زمان برای نواحی مشخص شده‌ای از عروق قلبی، گرادیان و سطح زیر نمودار برای عروق قلبی با قطرهای متفاوت محاسبه شد.

**یافته‌ها:** نمودار شدت روشنایی عروق حاوی ماده ایندوسیانین سبز بر حسب زمان با تعیین نواحی مشخص از عروق به دست آمد. مقادیر گرادیان در این طرح در محدوده ۶/۳-۳/۵ بر ثانیه و همبستگی آن با اندازه عروق ۰/۹۹۳۸ و مقادیر سطح زیر نمودار در محدوده ۱۲۸۲-۷۱۲ ثانیه و همبستگی آن با اندازه عروق ۰/۹۹۵۱ به دست آمد.

**نتیجه‌گیری:** سامانه تصویربرداری فلئورسنت مادون قرمز فلئورسنت پیشنهادی، رزولوشنی در حدود ۶۲ میکرومتر دارد و بنابراین در تصاویر حاصل از آن می‌توان عروق قلبی موش را به راحتی شناسایی و مشاهده کرد. گرادیان شدت ماده فلئورسنت و مساحت سطح زیر نمودار شدت-زمان با اندازه عروق قلبی موش همبستگی ۹۹ درصد دارند.

**واژه‌های کلیدی:** تصویربرداری فلئورسنت مادون قرمز، کمی‌سازی آنژیوگرافی فلئورسنت، ایندوسیانین سبز، جراحی قلب باز، پیوند عروق قلبی

سارا مشعل‌چی زاده<sup>۱</sup>

مرجانہ حجازی<sup>۲</sup>

سارا پهلوان<sup>۳</sup>

مریم صادقی‌فر<sup>۱</sup>

۱. کارشناسی ارشد، گروه فیزیک و مهندسی پزشکی، دانشکده پزشکی، دانشگاه علوم پزشکی تهران، تهران، ایران

۲. دانشیار، گروه فیزیک و مهندسی پزشکی، دانشکده پزشکی، دانشگاه علوم پزشکی تهران، تهران، ایران

۳. استادیار، پژوهشگاه رویان، تهران، ایران

نویسنده مسئول: سارا مشعل‌چی زاده، تلفن: ۰۹۱۰۲۳۸۲۱۱۰  
پست الکترونیک: smashal73@yahoo.com

## مقدمه

و آشکارسازی انجام گرفت. در بخش تحریکی چگونگی قرارگیری منبع نوری و خصوصیات کمی ارزیابی شد و در بخش آشکارسازی مشخصه‌های اجزای تشکیل‌دهنده آن، چگونگی قرارگیری المان‌های مختلف اپتیکی، تابع انتقال مدولاسیون سامانه تصویربرداری، خصوصیات کمی ماده فلئورسنت ایندوسیانیل سبزی، مراحل و چگونگی تصویربرداری از عروق قلبی مورد بررسی قرار گرفتند.

## بخش تحریکی سامانه تصویربرداری

این بخش شامل منبع نوری و لنز کروی است که طول موج منبع نوری برای تحریک ماده فلئورسنت ایندوسیانیل سبزی باید در محدوده طول موجی فرورسرخ نزدیک باشد. علاوه بر آن چگالی تابشی منبع نوری باید به گونه‌ای باشد که انرژی کافی و یکنواختی را در واحد سطح به هدف برساند و کمترین خطر را برای چشم و بافت هدف داشته باشد. بنابراین LED مورد استفاده در این پروژه (M780L3, Thorlabs, USA) با بیشینه طول موج ۷۸۰ نانومتر و چگالی تابشی در محدوده ۳ تا ۴ میلی‌وات بر سانتی‌متر مربع می‌باشد.

به منظور یکنواخت‌سازی نور تابیده شده به سطح بافت، از یک عدسی کروی با فاصله کانونی ۱۸/۴ میلی‌متر استفاده شد. این عدسی در فاصله ۱۸ میلی‌متر از منبع نوری قرار گرفت.

با توجه به معادلات فرنل، زاویه برخورد پرتو با سطح بافت باید به گونه‌ای باشد تا کمترین بازتاب را داشته باشد به نحوی که بیشترین میزان نور ساطع شده از منبع نوری جذب بافت شود. بنابراین در صورتی که زاویه منبع نوری نسبت به سطح بافت بین ۳۷ تا ۵۳ درجه باشد، بازتاب نور از سطح جسم حداقل مقدار خواهد بود.

## بخش آشکارسازی سامانه تصویربرداری

آرایه اپتیکی آشکارساز شامل بخش‌های دوربین آشکارساز (Japan WAT-120N, Watec) دو عدسی منیسکوس مثبت با فاصل G کانونی ۱۰۰ میلی‌متر (LE1234, Thorlabs, USA)، دو عدسی دابلت آکرومات با فواصل کانونی ۶۰ (AC254-060-B, Thorlabs, USA) و ۴۵ میلی‌متری (AC254-045-B, Thorlabs, USA)، روزنه اپتیکی (SM1D12C, Thorlabs, USA) و یک فیلتر میان‌گذر (FF01-832/37-25, Semrock, USA) می‌باشد. تمامی لنزهای به کاررفته در چنین اپتیکی دارای پوشش آنتی‌رفلکت می‌باشند تا مانع بازتاب نور فرورسرخ ساطع شده از ماده فلئورسنت شوند.

به منظور بهینه‌سازی سیستم تصویربرداری اجرا شده از نرم‌افزار زیمکس استفاده شد و فاصله بهینه لنزها از یکدیگر، فاصله لنز زوم تا دوربین و لنز شیئی تا نمونه به گونه‌ای طراحی شد تا سیستم حداقل خطا و ابیراهی‌ها و بهترین رزولوشن را داشته باشد.

آنژیوگرافی با ماده فلئورسنت ایندوسیانیل سبزی فرآیندی تشخیصی به منظور ارزیابی عملکرد رگ‌ها و مجراهای بدن می‌باشد. سالانه ۸۰۰۰۰۰ جراحی در سراسر دنیا به جراحی بای‌پس عروق کرونری اختصاص یافته است [۲۱]. در عمل‌هایی همچون عمل پیوند عروق کرونری، بیش از ۴ درصد از رگ‌های پیوندی در همان زمان جراحی عملکرد صحیحی ندارند [۶-۳].

عدم موفقیت عمل پیوند رگ می‌تواند به دلیل مشکلات تکنیکی همچون بای‌پس ضعیف عروق، پیوند رگ با کیفیت پایین و یا تفاوت جریان خون در رگ پیوندی با جریان خون در سایر عروق کرونری موجود باشد [۹-۷]. با کنترل کیفیت عروق پیوندی در طول عمل بای‌پس رگ‌های قلبی می‌توان از غالب موارد مذکور که موجب عدم موفقیت در جراحی می‌شوند، جلوگیری کرد. بنابراین ارزیابی صحت عملکرد عروق در حین جراحی بای‌پس عروق کرونری برای جلوگیری از عدم موفقیت عمل پیوند رگ، نقش مهمی را ایفا می‌کند.

در عمل‌های قلب باز، روش‌های متعددی به منظور بررسی عملکرد پیوند عروق قلبی وجود دارد که می‌توان به روش‌هایی همچون اکوکاردیوگرافی اپیکاردیال و یا الکتروکاردیوگرافی اشاره کرد [۱۰]، اندازه‌گیری مدت زمان عبور جریان با امواج فراصوت، اندازه‌گیری الکترومغناطیسی جریان خون، اسکن داپلر اپیکاردیال، اندازه‌گیری سرعت داپلر، آنژیوگرافی کرونری گرمایی و آنژیوگرافی با استفاده از اشعه ایکس استفاده می‌شود [۸-۱۱]. این در حالی است که تمامی روش‌های مذکور دارای محدودیت‌هایی هستند که می‌توان به تهاجمی بودن، رزولوشن پایین، وابسته بودن نتایج به اپراتور و عدم مشاهده بصری مشکل ایجاد شده اشاره کرد [۱۶].

در بین تمامی تصویربرداری‌هایی که در حین عمل کاربرد دارند، تصویربرداری فلئورسنت روشی غیرتهاجمی محسوب می‌شود. علاوه بر آن تصویر حاصل از تصویربرداری فلئورسنت از کنتراست، رزولوشن و حساسیت بالاتری برخوردار است. دستگاه تصویربرداری فلئورسنت قیمت ارزان‌تری دارد و کار با آن پیچیدگی خاصی ندارد.

طبق تحقیقات اخیر انجام گرفته، تصویربرداری فلئورسنت مادون قرمز در جراحی‌های قلبی تنها در برخی کشورها انجام می‌شود اما، تاکنون چینی اپتیکی مناسبی جهت انجام تصویربرداری از عروق قلبی حیوانات کوچک و همچنین ارزیابی کمی مناسبی از تصویربرداری صورت گرفته معرفی نشده است. بنابراین هدف از اجرای این طرح، بهینه‌سازی روش آنژیوگرافی فلئورسنت مادون قرمز جهت ارزیابی عروق قلبی موش به صورت برون‌تنی می‌باشد.

## روش بررسی

پیاده‌سازی چینی اپتیکی فلئورسنت مادون قرمز در دو بخش تحریکی

در مجموع می‌توان گفت از ۷۲ جفت خط تشکیل شده است که هریک با یک المان و گروه خاصی مشخص شده‌اند. به‌منظور رسم تابع انتقال مدولاسیون برای سیستم تصویربرداری فلئورسنت مادون قرمز طراحی شده، صفحه تعیین رزولوشن USAF1951 در محل جسم و در مقابل چینش اپتیکی قرار گرفت و تصویربرداری انجام شد. پس از تصویربرداری از این قطعه اپتیکی، هریک از جفت خطها از تصویر جدا شدند و با استفاده از نرم‌افزار متلب شدت بیشینه و کمینه آنها به‌دست آمد. بدین ترتیب ام‌تی‌اف تمامی جفت خطها با استفاده از فرمول تابع انتقال مدولاسیون به‌دست آمد. برای شناسایی فرکانس مکانی از رابطه زیر استفاده می‌شود:

$$(1) \quad \text{فرکانس مکانی} = 2 \left( \frac{\text{شماره المان} - 1}{6} + \text{شماره گروه} \right)$$

بدین ترتیب X و Y هریک از جفت خطها که نشان‌دهنده یک نقطه خاص در صفحه هستند، مشخص گردید. از مجموع این نقاط، نمودار ام‌تی‌اف توسط نرم‌افزار متلب رسم گردید.

### تصویربرداری از عروق قلب موش

در این مرحله به تصویربرداری از عروق قلب موش صحرایی به‌صورت برون‌تنی پرداخته شد. تصویربرداری‌ها در پژوهشکده زیست‌شناسی و فناوری سلول‌های بنیادی پژوهشگاه رویان و با حفظ اصول اخلاقی انجام گرفت. به‌منظور ایجاد یک چرخه گردش محلول ایندوسیاین سبز درون عروق قلبی موش از پمپ peristaltic استفاده شد.

در این فاز از تصویربرداری، از موش صحرایی نر با نژاد ویستار با وزن تقریبی ۲۵۰-۲۰۰ گرمی استفاده شد. ابتدا حیوان با استفاده از تزریق درون صفاقی محلول کتامین / زایلازین بیهوش شد سپس هیپارین به‌صورت سیستمیک از طریق سیاهرگ دمی به موش تزریق شد تا از لخته شدن خون حیوان جلوگیری شود. سپس قفسه سینه باز و قلب به همراه آئورت و سرخرگ ششی جدا شد. چربی‌های اضافی برداشته شد، آئورت کانولاسیون شد و با سرم شسته شد تا خون به‌طور کامل از قلب خارج شود. قلب کانوله‌شده به ورودی بایورآکتور که به پمپ peristaltic وصل شده است، متصل شد و قلب موش تحت تصویربرداری قرار گرفت. در این فاز از تصویربرداری از حرکت ماده فلئورسنت از همان لحظه ورود ماده ایندوسیاین سبز به عروق قلبی ویدئو گرفته شد. این کار به‌منظور بررسی کمی جریان ایندوسیاین سبز در عروق قلبی انجام گرفت.

به‌منظور کمی‌سازی تصویربرداری انجام‌شده نمودار شدت ماده فلئورسنت برای چند ROI در عروق قلبی موش برحسب زمان عبور ماده فلئورسنت از آن نواحی به‌دست آمد. پس از آن چند کمیت از این نمودار استخراج شد. کمیت‌های مذکور عبارت‌انداز: حجم ماده ایندوسیاین سبز، گرادیان و مساحت سطح زیر نمودار شدت-زمان

در شکل ۱ نمایی از سامانه تصویربرداری فلئورسنت نهایی آورده شده است. اجزای این سیستم تصویربرداری شامل منبع نور فروسرخ نزدیک (۱)، محل قرارگیری قلب موش (۲)، فیلتر میان‌گذر (۳)، مجموعه لنزهای اپتیکی (۴) و دوربین آشکارساز (۵) می‌باشد. در این طراحی فیلتر، مجموعه لنزها و دوربین آشکارساز توسط یک نگهدارنده (۶) به‌صورت عمودی نگه داشته شده‌اند.

### بررسی کمی ماده ایندوسیاین سبز

در این طرح از ماده ایندوسیاین سبز (VERDYE, Diagnostic Green, Germany) استفاده شده است. با استفاده از دستگاه اسپکتروفتومتر فلورسانس (Cary eclipse, Germany, Varian) نمودار طیف تابشی ماده ایندوسیاین سبز به‌دست آمد و نتایج آن ثبت شد.

### تعیین رزولوشن سامانه تصویربرداری

به‌منظور تعیین رزولوشن سیستم تصویربرداری فلئورسنت، از صفحه تعیین رزولوشن (USAF1951, Thorlabs, China) استفاده شد. این صفحه دارای ۶ گروه و ۶ المان در دو راستای افقی و عمودی است که



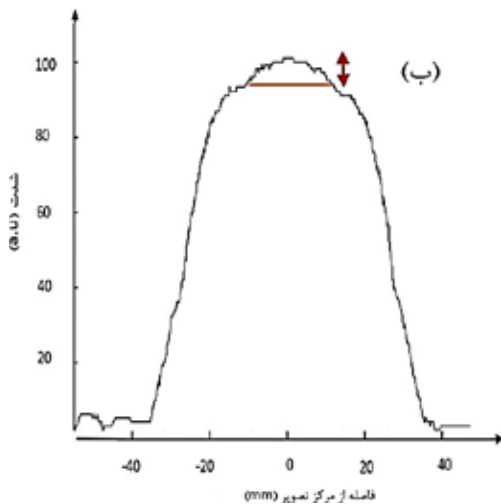
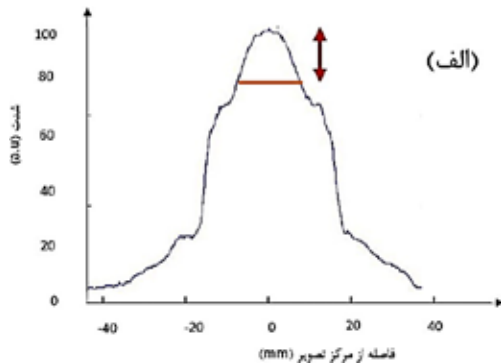
شکل ۱: نمایی از سیستم تصویربرداری فلئورسنت مادون قرمز

کروی با فاصله کانونی کم استفاده شد. نور خارج‌شده از صفحه منبع نور به صورت غیریکنواخت می‌باشد به طوری که شدت نور تابیده شده در وسط بیشتر از شدت نور در کناره‌ها می‌باشد. با قرارگیری لنز کروی در فاصله ۲ سانتی‌متری از منبع LED، پرتوها به صورت کاملاً یکنواخت به سطح جسم تابیده می‌شوند.

به منظور بررسی یکنواخت بودن شدت نور پرتوهای گسیلی از سیستم نوری جدید پروفایل شدت نور تابیده شده قبل و بعد از یکنواخت‌سازی با استفاده از نرم‌افزار متلب رسم شد. همان‌طور که در نمودار ۱ مشخص است، بعد از یکنواخت‌سازی تغییرات شدت نور تابیده شده به جسم، در محدوده میدان دید حدود ۲ سانتی‌متری سیستم تصویربرداری، بسیار ناچیز می‌باشد بنابراین می‌توان نور تابش شده به سطح جسم را یکنواخت فرض کرد.

### نتایج حاصل از طیف تابشی ماده ایندوسیانی سبز

به منظور بررسی طیف گسیل شده از ماده ایندوسیانی سبز از دستگاه اسپکتروفتومتر فلورسانس استفاده شد. این دستگاه نوری با پیک طول موجی ۷۸۰ نانومتر به ماده ایندوسیانی سبز تاباند. با توجه به نمودار حاصل شده، به ازای هر طول موج یک شدت تابشی خاص به دست آمده است. بنابر



نمودار ۱: (الف) نمودار توزیع شدت برای پرتوهای غیریکنواخت و (ب) نمودار توزیع شدت برای پرتوهای یکنواخت شده

### کمی‌سازی تصویربرداری فلئورسنت

به منظور کمی‌سازی تصویربرداری، نواحی دلخواهی با اندازه ثابت  $10 \times 10$  پیکسل در عروق قلبی موش تعیین شد. سپس متوسط شدت در این نواحی برای بازه زمانی قبل تا بعد از عبور ماده فلئورسنت از آن‌ها به دست آمد. در انتها، تمامی نمودارها نرمالیزه شدند تا بررسی و مقایسه‌های صورت گرفته معنی‌دار شوند.

به منظور رسم نمودار شدت برحسب زمان، با استفاده از نرم‌افزار متلب ویدئوهای گرفته شده از لحظه ورود ماده ایندوسیانی سبز به عروق قلبی به فریم‌های مساوی تقسیم شد. از آنجایی که دوربین مورد استفاده در این طرح ۲۵ فریم بر ثانیه می‌باشد، از هر ثانیه فیلم ۲۵ فریم ایجاد شد. شدت ماده فلئورسنت تا قبل از ورود ماده ایندوسیانی سبز به ناحیه ROI معین شده صفر می‌باشد زیرا در آن ناحیه هنوز هیچ محلولی وارد نشده است. با افزایش میزان ماده ایندوسیانی سبز، شدت نور گسیل شده از آن نیز افزایش می‌یابد. بنابراین از زمان وارد شدن محلول ایندوسیانی سبز به ناحیه مورد نظر تا زمانی که تمام آن ناحیه از محلول ایندوسیانی سبز پر شده باشد، شدت نور گسیل شده به طور صعودی افزایش خواهد یافت. بیشینه شدت نور گسیلی زمانی اتفاق می‌افتد که تمام ناحیه ROI مذکور از محلول حاوی ایندوسیانی سبز پر شده باشد.

یکی از روش‌های کمی‌سازی تصویربرداری، محاسبه مساحت زیر نمودار شدت ماده فلئورسنت برحسب زمان برای هر ROI می‌باشد. لازم به ذکر است زمان ورود محلول ایندوسیانی سبز به ROI مورد نظر به طور معمول در زمان ۵ درصد شدت پیک فلئورسنت در نظر گرفته می‌شود. برای به دست آوردن مساحت زیر نمودار شدت-زمان از زمان ورود محلول ایندوسیانی سبز به ناحیه مورد نظر تا زمانی که پیک ایجاد شده در نمودار مذکور تمام می‌شود، محاسبه خواهد شد.

گرادیان نمودار شدت برحسب زمان معادل با شیب این نمودار از زمان ورود ماده ایندوسیانی سبز به ROI مورد نظر تا زمانی که شدت ماده فلئورسنت به بیشینه مقدار خود می‌رسد، در نظر گرفته می‌شود. نمودار خطی از نقطه ورود محلول ایندوسیانی سبز تا زمانی که شدت نور گسیل شده به بیشینه مقدار خود رسیده باشد، رسم و سپس شیب آن به صورت زیر محاسبه می‌شود:

$$\text{شیب} = \tan \alpha = \frac{\Delta y}{\Delta x} \quad (2)$$

این شیب معادل با گرادیان نمودار در این محدوده می‌باشد.

### یافته‌ها

#### یکنواخت‌سازی نور تحریکی

به منظور یکنواخت‌سازی طیف ساطع شده از منبع نوری از یک لنز

نتایج حاصل شده، محدوده طیف تابشی ماده ایندوسیاین سبز بین ۷۸۰ تا ۸۶۰ نانومتر اندازه‌گیری شد. در این محدوده بیشترین شدت نور تابشی ماده ایندوسیاین سبز در طول موج ۸۱۹ نانومتر ایجاد شده است.

### نتایج حاصل از تعیین تابع انتقال مدولاسیون

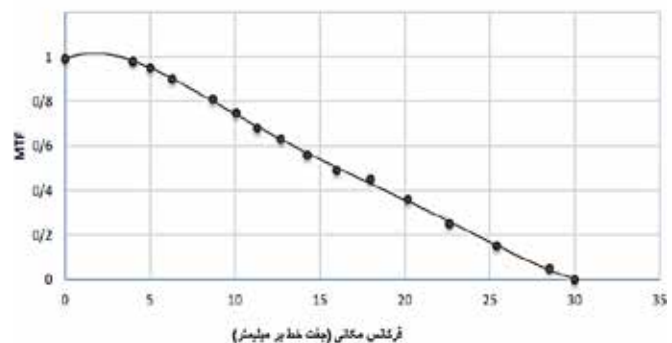
به‌منظور بررسی تابع انتقال مدولاسیون سیستم تصویربرداری فلئورسنت مادون قرمز از صفحه تعیین رزولوشن و نرم‌افزار متلب استفاده شد. نتایج حاصل از آن در نمودار ۲ آمده است.

باتوجه به نمودار ایجاد شده، بیشترین فرکانس مکانی قابل مشاهده برای سیستم ۳۰ جفت خط بر میلی‌متر می‌باشد. همچنین رزولوشن سیستم به‌گونه‌ای است که در ۵۰ درصد تابع انتقال مدولاسیون، ۱۶ جفت خط را در یک میلی‌متر می‌تواند از یکدیگر تمیز دهد. بنابراین رزولوشن این سیستم ۶۲/۵ میکرومتر می‌باشد.

### نتایج حاصل از تصویربرداری قلب موش سلولزدا

به‌منظور ایجاد گردش ماده ایندوسیاین سبز در عروق قلبی، پمپ peristaltic ماده ایندوسیاین سبز را با سرعت ۷ میلی‌لیتر بر دقیقه در عروق قلبی موش می‌گرداند. نتایج حاصل از تصویربرداری از قلب موش به‌صورت برون‌تنی در شکل ۲ آمده است. همان‌طور که در شکل نیز پیداست با استفاده از این سامانه تصویربرداری، تمامی عروق left circumflex artery, left marginal artery, LAD و diagonal branch به‌راحتی قابل مشاهده‌اند.

با استفاده از این سامانه تصویربرداری می‌توان پرفیوژن محلول ایندوسیاین سبز در بافت را نیز مشاهده کرد. پرفیوژن و ایسکمی قلبی در شکل ۳ نشان داده شده است. پس از عبور ماده ایندوسیاین سبز به عروق قلبی، این عروق توسط دستگاه تصویربرداری مشاهده شدند و با پرفیوژن محلول ایندوسیاین سبز از عروق قلبی به بافت قلب موش، به جز ناحیه‌ای از قلب که دچار ایسکمی شده بود، محلول ایندوسیاین سبز وارد دیگر نواحی بافت قلبی شد.



نمودار ۲: تابع انتقال مدولاسیون مربوط به سیستم تصویربرداری فلئورسنت

شکل ۲: در تصویر، عروق قلبی با سیستم تصویربرداری فلئورسنت نمایش داده شده است

### کمی‌سازی آنژیوگرافی عروق قلبی

به‌منظور رسم نمودار شدت برحسب زمان، برای ROI های انتخابی از رگ LAD و دیگر عروق بزرگ موجود در بطن چپ مانند عروق left circumflex artery و left marginal artery از نرم‌افزار متلب استفاده شد. در شکل ۴ شش ناحیه ROI انتخابی به‌منظور رسم نمودار شدت-زمان مشخص شده‌اند. نمودارهای به‌دست‌آمده از این نواحی در نمودار ۳ آورده شده است.

به‌منظور تعیین حجم مایع در حال جریان در ROI های انتخاب شده در عروق از مساحت سطح زیر نمودار شدت-زمان‌های به‌دست‌آمده برای آن ROI ها استفاده شد.

با اندازه‌گیری‌های صورت‌گرفته مشخص شد مساحت زیر نمودار با اندازه عروق رابطه معکوس دارد. بدین معنا که هرچه قطر رگ بیشتر باشد، مساحت زیر نمودار آن کمتر خواهد بود. میانگین مساحت‌های زیر نمودار محاسبه شده ۱۰۱۳/۱۶ ثانیه و انحراف استاندارد آن (S) ۲۲۰/۰۹ می‌باشد.

به‌منظور به‌دست‌آوردن گرادیان نمودار شدت-زمان در فاصله ورود محلول به ROI های انتخابی تا خروج آن از این نواحی، نمودار خطی در این محدوده کشیده شد. با اندازه‌گیری‌های صورت‌گرفته مشخص شد گرادیان شدت برحسب زمان با اندازه عروق رابطه مستقیم دارد. بدین معنی که گرادیان تعیین شده برای ROI در یک رگ بزرگ نسبت به گرادیان محاسبه شده برای ROI تعیین شده در رگ کوچک‌تر از آن، بیشتر خواهد بود. میانگین گرادیان‌های محاسبه شده ۴/۶۱ و انحراف استاندارد آن برابر با ۱/۰۶ بر ثانیه می‌باشد.



### تعیین همبستگی

به‌منظور بررسی صحت رابطه بین اندازه عروق با مساحت سطح زیر نمودار و همچنین بین اندازه عروق قلبی با گرادیان از ضریب همبستگی پیرسون استفاده شد.

نمودار همبستگی بین رابطه عروق با مساحت سطح زیر نمودار در نمودار ۴ آورده شده است. همان‌طور که در نمودار ۴ نیز مشخص است، ضریب همبستگی پیرسون برای مساحت زیر نمودار شدت-زمان با اندازه عروق قلبی مقدار  $0/9951$  - به‌دست آمد. از آنجاکه این مقدار به  $1$  - بسیار نزدیک می‌باشد، می‌توان گفت این دو مشخصه همبستگی بسیار خوبی با یکدیگر دارند.

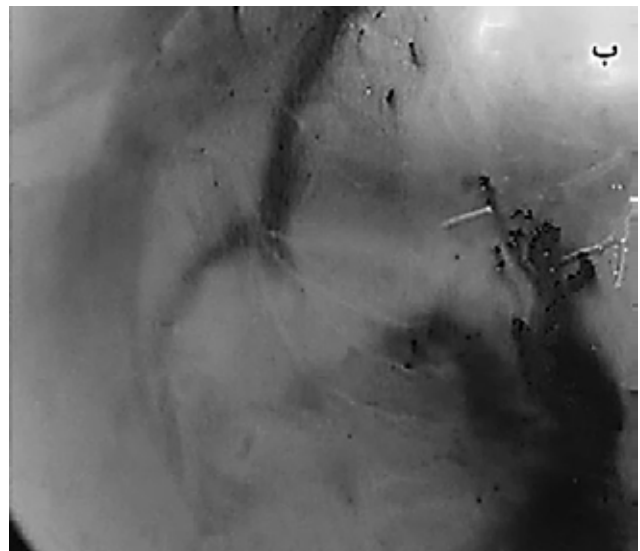
نمودار ۵ همبستگی بین اندازه عروق قلبی با گرادیان را نشان می‌دهد. همان‌طور که در نمودار ۵ نیز مشخص است، ضریب همبستگی پیرسون برابر با  $0/9938$  می‌باشد. از آنجایی که این مقدار بسیار نزدیک به مقدار ایدئال  $1$  می‌باشد، می‌توان گفت این دو مشخصه همبستگی بسیار خوبی با یکدیگر دارند.

### بحث و نتیجه‌گیری

تشخیص صحت عملکرد عروق قلبی در حین جراحی قلب امری ضروری است زیرا در عمل‌هایی همچون عمل پیوند عروق کرونری به‌دلیل عدم عملکرد صحیح عروق پیوندی در همان زمان جراحی، بیش از  $30$  درصد از جراحی‌های پیوند رگ پس از یک سال با شکست روبرو می‌شوند. بنابراین ارزیابی صحت عملکرد عروق در حین جراحی بای‌پس عروق کرونری برای جلوگیری از عدم موفقیت عمل پیوند رگ نقش مهمی را ایفا می‌کند. در بین تمامی تصویربرداری‌هایی که در حین عمل کاربرد دارند، تصویربرداری فلئورسنت روشی غیرتهاجمی محسوب می‌شود. علاوه‌بر آن تصویر حاصل از تصویربرداری فلئورسنت از کنتراست، رزولوشن و حساسیت بالاتری برخوردار است. دستگاه تصویربرداری فلئورسنت قیمت ارزان‌تری دارد و کار با آن پیچیدگی خاصی ندارد. در سال‌های اخیر، روش تصویربرداری فلئورسنت توانسته است در  $75$  درصد موارد به درستی عملکرد عروق قلبی را در جراحی‌های قلب باز تشخیص دهد. در حال حاضر در کشور آمریکا بیش از  $400$  بیمارستان از این روش تصویربرداری برای تشخیص در حین عمل استفاده می‌کنند [۱۷].

در این طرح علاوه بر طراحی چپ‌نشی متناسب با اندازه عروق قلبی و با ایجاد بهترین رزولوشن، به کمی‌سازی تصاویر و ویدئوآنژیوگرافی‌های حاصل‌شده از این سامانه تصویربرداری نیز پرداخته شد.

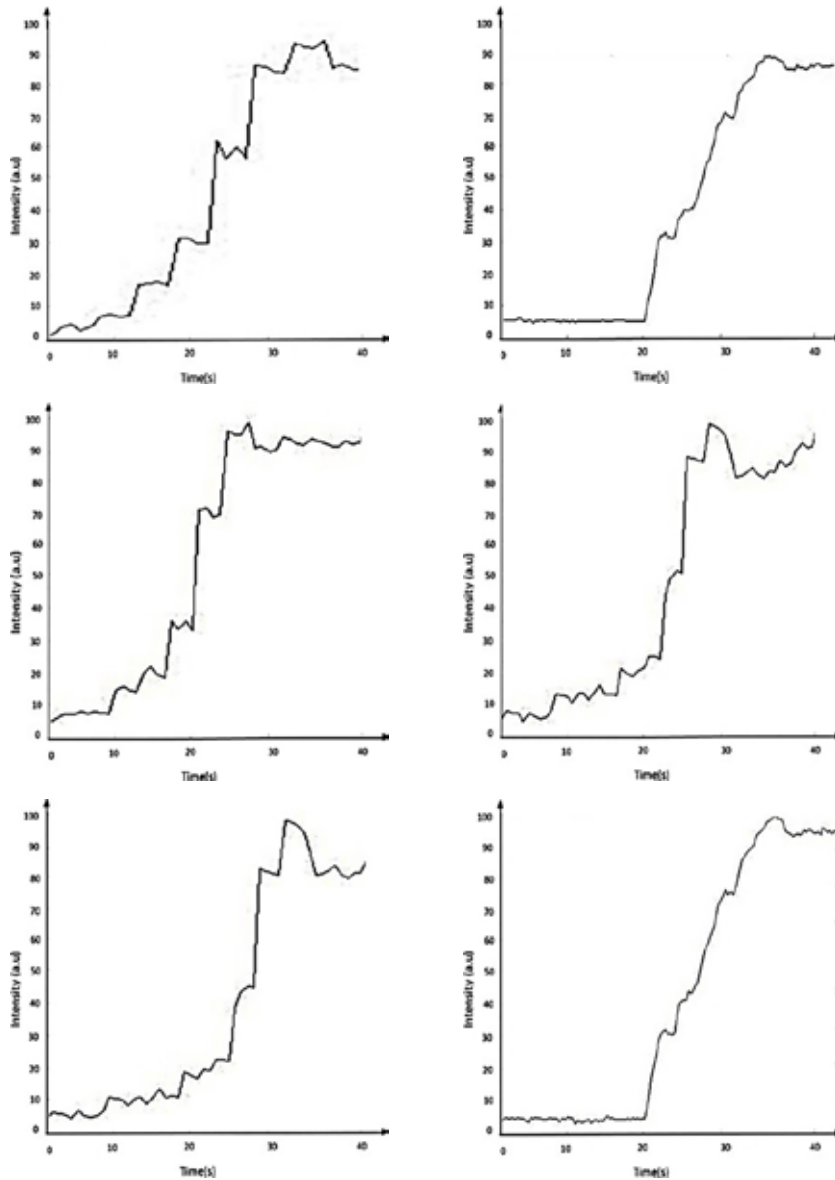
برای تحریک کردن نمونه به یک منبع نوری نیاز بود. این منبع نوری می‌تواند نور سفید پیوسته مانند هالوژن، LED و یا لیزر دیودی باشد. در سال  $2017$ ، دتر و همکاران به‌منظور تصویربرداری از عروق قلبی و



شکل ۳: تصویر (الف) بطن قلب موش قبل از تابش نور فروسرخ نزدیک و با سامانه تصویربرداری فلئورسنت بدون فیلتر و تصویر (ب) بطن قلب موش با سامانه تصویربرداری فلئورسنت مادون قرمز را نشان می‌دهد. همان‌طور که مشخص است، ایسکمی قلبی (مناطق سیاه رنگ) در تصویر (ب) به‌راحتی قابل تشخیص می‌باشد.



شکل ۴: شش ناحیه ROI مشخص‌شده برای رسم نمودار شدت برحسب زمان



نمودار ۳: نمودارهای شدت برحسب زمان برای ROI های معین شده

مناسبی برای تحریک مواد فلئورسنت می باشند زیرا در اکثر طیف های طول موجی در دسترس می باشند و شار تابشی بالایی دارند. طیف تابشی LED به صورت تک طول موجی نمی باشد اما، طول موج پیوسته آن ها غالباً طیف bell-shaped دارد. به همین خاطر طیف نور گسیلی از این نوع منابع نوری غالباً با طیف نور گسیل شده از ماده فلئورسنت همپوشانی زیادی ندارند. علاوه بر آن LED ها توان کمی دارند و بنابراین در مقایسه با لیزرها مقدار کمتری گرما تولید می کنند. همچنین این نوع از منابع های نوری حالت جامد، محدوده بیشتری از سطح نمونه را تحت تابش قرار می دهند. به همین دلیل این نوع منبع نوری برای تحریک ماده فلئورسنت عملکرد بهتری خواهند داشت. بنابراین با توجه به مزیت های منبع نوری LED، در این طرح برای تحریک ماده ایندوسیانین سبز از منبع نوری

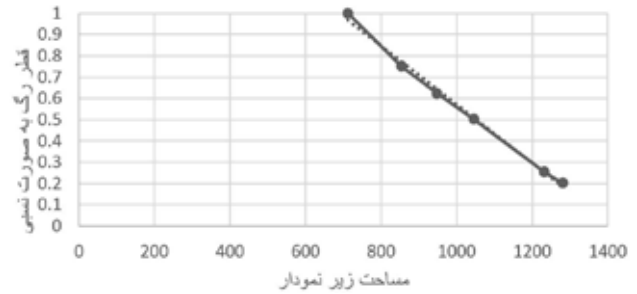
بررسی کمی گرفتگی عروق کرونری از لیزر دیودی برای تحریک ماده ایندوسیانین سبز استفاده کردند. لیزرهای دیودی منابع نوری بهینه ای برای تحریک مواد فلئورسنت می باشند زیرا در مدهای پیوسته دارای شار تابشی طیفی بسیار بالایی هستند. با این وجود استفاده از این منابع نوری به منظور تصویربرداری فلئورسنت در حین جراحی در سال های اخیر بسیار کاهش یافته است زیرا هزینه استفاده از لیزرها نسبت به سایر منابع تابشی بیشتر بود. علاوه بر آن، این دسته از منابع نوری به دلیل همدوس بودن، سطح کوچکی از جسم مورد نظر را تحت تابش قرار می دهند و در نتیجه مدت زمان تصویربرداری در هنگام استفاده از لیزرها بیشتر خواهد شد به همین دلیل در تصویربرداری فلئورسنت حین جراحی کمتر مورد استفاده قرار می گیرند [۱۶]. این درحالیست که LED ها منابع نوری

و از دو روش برای رسم نمودار شدت-زمان استفاده کردند [۱۸]. اما، این روش از تغییرات پرفیوژن بافت قلبی به تغییرات در جریان خون می‌رسید و نواحی مشخص شده برای تعیین نمودار را بر روی بافت قلب در نظر می‌گرفت. بنابراین در سال ۲۰۱۷ یاماماتو و همکاران ایده دیگری برای کمی سازی گرفتگی عروق مطرح کردند. آن‌ها ناحیه انتخابی خود را برای تعیین نمودار شدت برحسب زمان بر روی عروق LAD تعیین و بیشینه شدت ماده فلئورسنت را به‌عنوان ابزاری برای تعیین میزان و درصد گرفتگی در عروق کرونری بیان کردند [۱۹]. در سال ۲۰۱۷ دتر و همکاران نمودار شدت برحسب زمان را به نمودار شدت برحسب گرفتگی تبدیل و دو ابزار تصویربرداری و نمودار شدت برحسب گرفتگی را به‌عنوان مشخصه‌هایی برای تعیین صحت عملکرد عروق کرونری قلب خوک بیان کردند [۱۶]. در سال ۲۰۱۸ سائیتو و همکاران روش نوین تری را برای کمی سازی آنژیوگرافی عروق مغزی ارائه دادند. آن‌ها از کمیت‌های استخراج شده از نمودار شدت برحسب زمان همچون گرادیان، حجم خون و متوسط جریان خون برای کمی سازی آنژیوگرافی عروق مغزی استفاده کردند [۲۰].

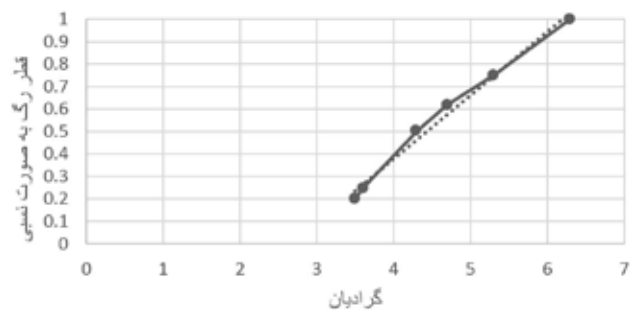
از آنجاکه کمترین قطر عروق انشعابی از رگ LAD برابر با ۱۰۰ میکرومتر است، سامانه تصویربرداری با رزولوشنی برابر با ۶۲/۵ میکرومتر، تمامی این عروق را به راحتی تشخیص می‌دهد. کمترین قطر عروق کرونری در داخل قلب موش برابر با ۵۰ میکرومتر می‌باشند. از آنجایی که فرکانس قطع سیستم برابر با ۳۰ (lp/mm) می‌باشد، در نتیجه رزولوشن سیستم در فرکانس قطع برابر با ۳۵/۱ میکرومتر می‌باشد. بنابراین کوچک‌ترین عروق قلبی نیز با این سیستم قابل شناسایی می‌باشند.

در این طرح علاوه بر رسم نمودار شدت برحسب زمان، برای نواحی مشخصی از عروق قلبی موش مانند رگ LAD، به تعیین کمیت‌هایی همچون مساحت سطح زیر نمودار و گرادیان نمودار شدت برحسب زمان پرداخته شد. با اندازه‌گیری‌های انجام شده گرادیان برای عروق قلبی با قطرهای متفاوت در محدوده  $(1/S) ۳/۵-۶/۳$  می‌باشد.

همبستگی بین گرادیان و اندازه نسبی عروق ۰/۹۹۳۸ می‌باشد. با اندازه‌گیری‌های انجام شده مساحت زیر نمودار برای عروق قلبی با قطرهای متفاوت در محدوده (S) ۱۲۸۲-۷۱۲ می‌باشد. همبستگی بین مساحت سطح زیر نمودار و اندازه نسبی عروق ۰/۹۹۵۱ - می‌باشد.



نمودار ۴: نمودار همبستگی بین مساحت زیر نمودار شدت- زمان با اندازه نسبی عروق قلبی



نمودار ۵: نمودار همبستگی بین گرادیان نمودار شدت- زمان با اندازه نسبی عروق قلبی

LED استفاده شده است.

انتخاب و طراحی مناسب فیلتر تداخلی برای نور گسیل شده از ماده فلئورسنت نقشی کلیدی در بهبود تصویربرداری فلئورسنت ایفا می‌کند. به کارگیری فیلتر مناسب موجب کاهش نور زمینه شده و در نتیجه حساسیت سیستم آشکارسازی افزایش می‌یابد. انتخاب فیلتر مناسب به عواملی همچون میزان همپوشانی نور تحریکی با نور گسیل شده از ماده فلئورسنت، محدوده نور گسیلی و همچنین میزان جابه‌جایی طول موج استاک بستگی دارد. به دلیل نزدیکی طول موج تحریکی و گسیلی ماده فلئورسنت ICG، احتمال همپوشانی این دو طیف طول موجی با یکدیگر بسیار زیاد می‌باشد و در نتیجه انتخاب فیلتر مناسب در هنگام استفاده از این ماده برای تصویربرداری فلئورسنت بسیار حائز اهمیت است. در این طراحی از فیلتر میان‌گذر مخصوص ماده ایندوسیانین سبز استفاده شد تا میزان همپوشانی منبع نور تحریکی با منبع نور ساطع شده از ماده ایندوسیانین سبز به کمترین میزان خود برسد. نور عبوری از فیلترهای تداخلی به زاویه نور برخوردی به آن بستگی دارد و در زوایای بالا، نور تحریکی ناخواسته را نیز عبور خواهد داد. در صورتی که فیلتر تداخلی بدون زاویه روبروی چینش اپتیکی قرار گیرد، نشت نوری به کمترین مقدار خود خواهد رسید. بنابراین سیستم به گونه‌ای طراحی شد تا محل قرارگیری فیلتر به صورت موازی با سایر المان‌های اپتیکی باشد.

ایده کمی سازی گرفتگی عروق قلبی از سال ۲۰۰۷ توسط دتر و همکاران مطرح شد. آن‌ها با استفاده از پرفیوژن عروق قلبی به میکوکار دیال نمودار شدت برحسب زمان را برای درصد گرفتگی‌های متفاوت بررسی کردند



## References:

1. Shaefi S, Mittel A, Loberman D, Ramakrishna H. Off-Pump Versus On-Pump Coronary Artery Bypass Grafting—A Systematic Review and Analysis of Clinical Outcomes. *Journal of cardiothoracic and vascular anesthesia*, 2019; 33(1): 232-44.
2. Winkler B, Reineke D, Heinisch P, Schönhoff F, Huber C, Kadner A, Carrel T. Graft preservation solutions in cardiovascular surgery. *Interactive cardiovascular and thoracic surgery*. 2016; 23(2): 300-9.
3. YAVUZ, Senol. Intraoperative assessment of coronary artery bypass graft patency. *Oman medical journal*, 2013; 28(5): 373.
4. D'Ancona G, Karamanoukian H, Ricci M, Schmid S, Bergsland J, Salerno T. Graft revision after transit time flow measurement in off-pump coronary artery bypass grafting. *European journal of cardio-thoracic surgery*, 000; 17(3): 287-93.
5. Khan N, De Souza A, Mister R, Flather M, Clague J, Davies S, Pepper J. A randomized comparison of off-pump and on-pump multivessel coronary-artery bypass surgery. *New England Journal of Medicine*, 2004; 350(1): 21-8.
6. Puskas J, Williams W, Mahoney E, Huber P, Block P, Duke P, McCall S. Off-pump vs conventional coronary artery bypass grafting: early and 1-year graft patency, cost, and quality-of-life outcomes: a randomized trial. *Jama*, 2004; 291(15): 1841-9.
7. Alexander J, Hafley G, Harrington R, Peterson E, Ferguson J, Lorenz T, a.Califf R. Efficacy and safety of edifoligide, an E2F transcription factor decoy, for prevention of vein graft failure following coronary artery bypass graft surgery: PREVENT IV: a randomized controlled trial. *Jama*, 2005; 294(19): 2446-54.
8. Leacche M, Balaguer JM, Byrne JG. Intraoperative grafts assessment. in *Seminars in thoracic and cardiovascular surgery*. 2009. Elsevier.
9. Singh S, Desai N, Chikazawa G, Tsuneyoshi H, Vincent J, Zagorski B, Fremes S. The graft imaging to improve patency (GRIIP) clinical trial results. *The Journal of thoracic and cardiovascular surgery*, 2010; 139(2): 294-301.
10. Kieser T, Rose S, Kowalewski R, Belenkie I. Transit-time flow predicts outcomes in coronary artery bypass graft patients: a series of 1000 consecutive arterial grafts. *European Journal of Cardio-thoracic Surgery*, 2010; 38(2): 155-62.
11. MACK, Michael J. Intraoperative coronary graft assessment. *Current opinion in cardiology*, 2008; 23(6): 568-72.
12. Balacumaraswami L, Abu-Omar Y, Choudhary B, Pigott D, Taggart D. A comparison of transit-time flowmetry and intraoperative fluorescence imaging for assessing coronary artery bypass graft patency. *The Journal of thoracic and cardiovascular surgery* 2005; 130(2): 315-20.
13. Hol P, Fosse E, Mork B, Lundblad R, Rein K, Lingaas P, Due-Tonnessen P. Graft control by transit time flow measurement and intraoperative angiography in coronary artery bypass surgery. In *Heart Surg Forum* 2001.
14. Ward H, Kelly. *Assessment of Graft Patency During Coronary Artery Bypass Graft Surgery: Mitigating the Risk*. 2009, Elsevier.
15. BALACUMARASWAMI, Lognathen; TAGGART, David P. Intraoperative imaging techniques to assess coronary artery bypass graft patency. *The Annals of thoracic surgery*, 2007; 83(6): 2251-7.
16. Detter C, Russ D, Kersten JF, Reichenspurner H, Wipper S. Qualitative angiographic and quantitative myocardial perfusion assessment using fluorescent cardiac imaging during graded coronary artery bypass stenosis. *The international journal of cardiovascular imaging*, 2018; 34(2): 159-67.
17. Waseda K, Ako J, Hasegawa T, Shimada Y, Ikeno F, Ishikawa T, Fitzgerald PJ. Intraoperative fluorescence imaging system for on-site assessment of off-pump coronary artery bypass graft. *JACC: Cardiovascular imaging*, 2009; 2(5): 604-12.
18. Tanaka E, Chen F, Flaumenhaft R, Graham G, Laurence R, Frangioni J. Real-time assessment of cardiac perfusion, coronary angiography, and acute intravascular thrombi using dual-channel near-infrared fluorescence imaging. *The Journal of thoracic and cardiovascular surgery*, 2009; 138(1): 133-40.
19. Yamamoto M, Nishimori H, Handa T, Fukutomi T, Kihara K, Tashiro M, Orihashi K. Quantitative assessment technique of HyperEye medical system angiography for coronary artery bypass grafting. *Surgery today*, 2017; 47(2): 210-17.
20. Saito M, Saga T, Hayashi H, Noro S, Wada H, Kamada K. Quantitative blood flow assessment by multiparameter analysis of indocyanine green video angiography. *World neurosurgery*, 2018; 116: e187-e193.